

5. Нелинейная спектроскопия и нелинейная диагностика вещества

Традиционным предметом спектроскопии до появления лазеров было исследование дисперсии действительной и мнимой частей линейной восприимчивости $\chi^{(1)}(\omega)$. В соответствии с этим, говоря о нелинейной спектроскопии, часто имеют в виду методы и результаты исследований частотной зависимости нелинейного отклика вещества или — для слабонелинейной среды — частотной зависимости нелинейных восприимчивостей. Фактически предмет и методы современной нелинейной спектроскопии шире и разнообразнее. Быстрый прогресс техники генерации коротких световых импульсов (длительностью всего в неск. световых периодов, фемтосекундные световые импульсы) привёл к разработке эф. методов исследования нестационарного нелинейного отклика вещества на импульсное оптич. возбуждение. Этую спектроскопию, альтернативную традиционной «частотной» (frequency-domain) спектроскопии, принято называть временной (time-domain) спектроскопией. Совр. нелинейная лазерная спектроскопия включает и нелинейную спектрохронографию, изучающую частотную зависимость нелинейного отклика нестационарных сред; имеется в виду частотная спектроскопия с временным разрешением. Помимо информации о новых (нелинейных) параметрах вещества, нелинейная спектроскопия открывает принципиально новые возможности извлечения данных, являющихся традиц. предметом линейной спектроскопии, — данных о положении и структуре спектральных линий, сечениях рассеяния и т. п.; один из ярких примеров — свободная от доплёрского уширения двухфотонная атомная и молекулярная спектроскопия.

Хотя нелинейная спектроскопия в принципе имеет дело с бесконечным числом новых параметров — нелинейных восприимчивостей разл. порядков $\chi^{(n)}(\omega_1, \dots, \omega_n)$, фактически в большинстве применяемых методов (когерентная активная спектроскопия рассеяния света, спектроскопия двухфотонного поглощения, нелинейной поляризации спектроскопия) исследуются резонансы в кубичной нелинейной восприимчивости $\chi_{ijkl}^{(3)}(\omega_4; \omega_1, \omega_2, \omega_3)$, к-рая стала одной из важнейших характеристик материальных сред.

Примером может служить когерентная спектроскопия комбинац. рассеяния света, или, как её часто называют, КАРС-спектроскопия (когерентная антостоксова рамановская спектроскопия). Подчиняющиеся альтернативному запрету комбинац. резонансы (см. Комбинационное рассеяние света) в нелинейном отклике проявляются как резонансы в кубич. восприимчивости. Согласно классич. модели комбинац. рассеяния, поляризуемость молекулы

$$\gamma = \gamma_0^{(1)} + \frac{\partial \gamma}{\partial Q} Q + \dots, \quad (26)$$

где Q — смещение ядер, для к-рого ур-ние движения имеет вид

$$\ddot{Q} + 2\dot{Q} + \Omega^2 Q = \frac{1}{2M} \frac{\partial \gamma}{\partial Q} E^2. \quad (27)$$

В соответствии с (26), (27) в поляризации P появляется член, кубичный по полю. Действительно,

$$P = P_{\text{л}} + P_{\text{нл}} = \gamma(Q)E = \gamma_0^{(1)} E + \frac{\partial \gamma}{\partial Q} QE,$$

$$P_{\text{нл}} \sim \left(\frac{\partial \gamma}{\partial Q} \right)^2 E^3.$$

Если на среду действует бигармонич. поле вида (13), в результате четырёхфотонных взаимодействий на кубич. нелинейности возникает, в частности, волна поляризации, а следовательно, и когерентное световое поле (его когерентность определяется целиком когерент-

ностью накачки) на частоте $\omega_a = \omega_1 + \omega_1 - \omega_2 = 2\omega_1 - \omega_2$.

Соответствующая кубич. восприимчивость

$$\chi_{ijkl}^{(3)}(\omega_a; \omega_1, \omega_1; -\omega_2) = NL^4 \langle \chi_{ijkl}^{(3)}(\omega_a; \omega_1, \omega_1; -\omega_2) \rangle, \quad (28)$$

$$\gamma^{(3)} = \frac{1}{24 M} \cdot \left(\frac{\partial \gamma^{(1)}}{\partial Q} \right)^2 \cdot \frac{1}{\Omega^2 - (\omega_1 - \omega_2)^2 - 2i\Gamma(\omega_1 - \omega_2)}.$$

Частотная КАРС-спектроскопия основана на измерении зависимости интенсивности антостоксова сигнала (рис. 6, а)

$$I_a(\omega_a) \sim |\chi^{(3)}(\omega_a; \omega_1, \omega_1; -\omega_2)|^2 |A_1 A_2|^2 \quad (29)$$

от разности частот $\omega_1 - \omega_2$. Она даёт традиц. данные о комбинационных (рамановских) резонансах; чувствительность и спектральное разрешение при этом существенно превосходят таковые для спектроскопии

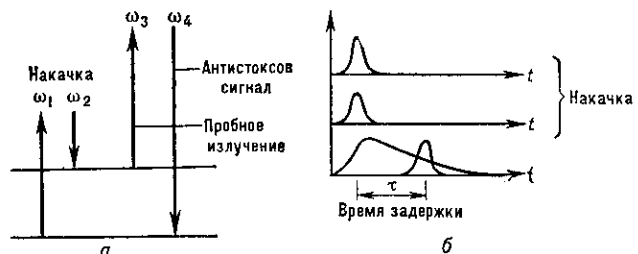


Рис. 6. Схема частотной (а) и временной (б) КАРС-спектроскопии комбинационных резонансов в кубической восприимчивости $\gamma^{(3)}$.

спонтанного комбинац. рассеяния. Вместе с тем КАРС-спектроскопия оказывается и источником принципиально новой информации, поскольку кубич. восприимчивость в (29) слагается из неск. составляющих — помимо резонансной восприимчивости $\chi_r^{(3)}$, связанной с колебат. резонансом (28), вклад в антостоксов сигнал дают четырёхфотонные процессы, развивающиеся на быстрой перезонансной электронной нелинейности $\chi_{nr}^{(3)}$ (см. Активная лазерная спектроскопия).

Принцип временной нелинейной спектроскопии комбинац. рассеяния (неустационарной КАРС-спектроскопии) показывает рис. 6(б). Комбинац. резонанс возбуждается двумя короткими лазерными импульсами, разность спр. частот излучения к-рых $\omega_1 - \omega_2$ ближе к частоте Ω . Короткий зондирующий импульс $E_{\text{пр}}$ с задержкой по отношению к возбуждающим импульсам используется для измерения кинетики затухания нелинейного отклика.

Кубич. нелинейный отклик на немонохроматич. поле

$$P^{(3)} = \int_0^{\infty} \int_0^{\infty} \int_0^{\infty} \chi^{(3)}(t_1, t_2, t_3) E(t - t_1) E(t - t_1 - t_2) \times \\ \times E(t - t_1 - t_2 - t_3) dt_1 dt_2 dt_3, \quad (30)$$

где $E = E_1 + E_2 + E_{\text{пр}}$.

Измеряемая в частотной нелинейной спектроскопии спектральная компонента кубич. нелинейной восприимчивости $\chi^{(3)}(\omega_a)$ является, очевидно, трёхмерным фурье-образом фигурирующей в (30) нелинейной ф-ции отклика $\chi^{(3)}(t_1, t_2, t_3)$:

$$\chi^{(3)}(\omega_a; \omega_{\text{пр}}; \omega_1; -\omega_2) = \frac{1}{4} \int_0^{\infty} \int_0^{\infty} \int_0^{\infty} \chi^{(3)}(t_1, t_2, t_3) \exp [i(\omega_{\text{пр}} t_1 + \omega_1 t_2 - \omega_2 t_3)] dt_1 dt_2 dt_3. \quad (31)$$

При исследовании однородно уширенного комбинац. резонанса частотная и временная КАРС-спектроскопия